Электронный научно-информационный журнал «Вестник Отделения наук о Земле РАН» №1(24)′2006 ISSN 1819 – 6586

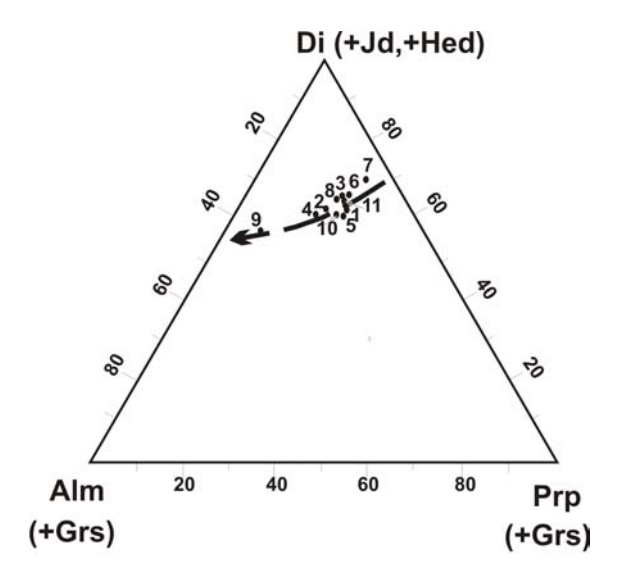
URL: http://www.scgis.ru/russian/cp1251/h dgggms/1-2006/informbul-1 2006/term-3.pdf

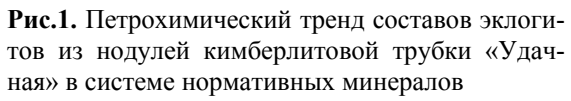
## СООТНОШЕНИЯ ФАЗОВОГО И КОМПОНЕНТНОГО СОСТАВА ГРАНАТА И ОМФАЦИТА: РЕЗУЛЬТАТЫ ЭКСПЕРИМЕНТА ПРИ 4.0-7.0 ГПА В СОПОСТАВЛЕНИИ С ПРИРОДНЫМИ ДАННЫМИ

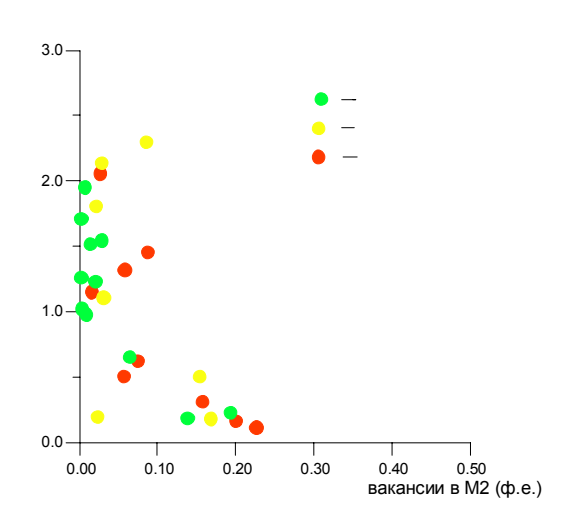
**Бутвина В.Г.**, **Сафонов О.Г.**, **Литвин Ю.А.**, **Маракушев А.А.** (ИЭМ РАН) butvina@iem.ac.ru; Тел.: (096) 522-5876

Результаты экспериментального изучения фазовых равновесий гранатовых (пиропальмандин, пироп-гроссуляр-альмандин) [1] и эклогитовых (альмандин-омфацит, псевдотройная система пироп-альмандин-омфацит (+гроссуляр), ее политермический разрез гранатомфацит) [2] систем были опубликованы ранее. В данной работе будет предложен анализ экспериментальных и природных данных (в качестве природного материала были выбраны эклогиты кимберлитовых трубок «Удачная» (наши образцы) и «Мир» [3,4]) для гранатомфацитовых парагенезисов.

В результате изучения коллекции алмазоносных эклогитов кимберлитовой тр. Удачная (Якутия) был получен тренд (рис.1) (который соответствует гранат-клинопироксеновой котектике) на петрохимической диаграмме плавкости диопсид-пироп-альмандин. Экспериментально построенная псевдотройная диаграмма плавкости омфацит—пироп (+гроссуляр)—альмандин (+гроссуляр) также характеризуется котектическими отношениями граната и омфацита [2], что замечательным образом подтверждает природные соотношения граната и клинопироксена в эклогитах из тр. «Удачная» (рис. 1). Помимо этого, такие взаимоотношения показывают, что биминеральные эклогиты должны быть наиболее распространенными среди всех типов магматических эклогитов.







**Рис.2.** Зависимость логарифма константы распределения железа и магния между гранатом и пироксеном от содержания вакансий в позиции M2 в омфаците

На основе изучения гранат-клинопироксеновых пар из продуктов экспериментов в системе омфацит—гранат при 7.0 ГПа была найдена зависимость логарифма константы распределения железа и магния между гранатом и пироксеном  $lnK_d$ , где  $K_d$ —константа обменной реакции: Hed + Prp = Di + Alm), от содержания кальциевой молекулы Эскола в пироксене (рис.2). Таким образом, для определения температур гранат-клинопироксеновых парагенезисов, образованных при высоких давлениях (например, включения в алмазе), необходимо учитывать влияние содержания кальциевой молекулы Эскола в клинопироксене на константу перераспределения

магния и железа между гранатом и клинопироксеном. Вместе с тем, между температурой образования и содержанием Са-молекулы Эскола в пироксене нет определенной зависимости, скорее всего изменение содержания Са-молекулы Эскола влияет, прежде всего, на давление [5,6].

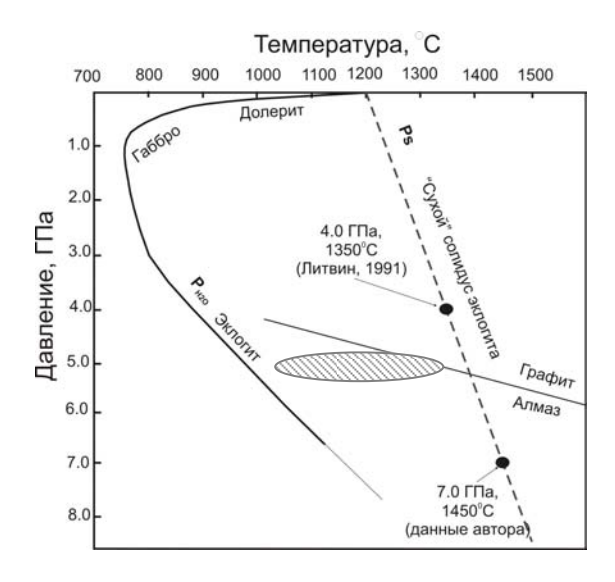


Рис.3. Схема вариаций солидуса основных магматических пород под воздействием давления на твердые фазы (Ps) и водного давления (P<sub>H2O</sub>). Закрашенное поле на рисунке показывает Т образования алмазоносных эклогитов тр. «Удачная» и гранатпироксеновой ассоциации из включений в алмазе «эклогитового» типа [9]. Линия водонасыщенного солидуса эклогита: 1) 0-2.5 ГПа [10]; 2) 3.0-6.5 ГПа [11]

На Т-Р диаграмме показаны «сухой» и «водный» солидус эклогитов (рис.3). Для построения «сухого» солидуса эклогитов были взяты наши экспериментальные данные по кристаллизации магнезиально-железистых эклогитов при 7.0 ГПа, 1450°C, а также данные Ю.А.Литвина [7] при 4.0 ГПа, ~1350°С. При нанесении на диаграмму Р-Т параметров образования алмазоносных эклогитов тр. «Удачная», а также P-T параметров образования ассоциации граната и клинопироксена при их совместном нахождении во включениях в кристаллах алмаза тр. «Мир» [8,9] видно, что все данные попадают в «сухой» субсолидус. Понижение температуры образования эклогитов (отностельно «сухих» условий) могло быть связано с повышением парциального давления водного компонента флюидов в результате реакций диспропорционирования компонентов при кристаллизации алмаза из флюидных магм:  $H_2 + CO = C + H_2O$ ;  $3H_2 + CO = CH_4 + H_2O$  и др. [12]. Источником воды в магматических очагах алмазной фации глубинности могут быть потоки глубинных углеродно-водородных флюидов [12], в которых протекают подобные реакции. Таким образом, эксперименты в модельной системе Na<sub>2</sub>O-CaO-MgO-FeO-Al<sub>2</sub>O<sub>3</sub>-SiO<sub>2</sub>, близкой к составу природных рутиловых эклогитов, при давлении 7.0 ГПа свидетельствуют о том, что температура «сухого» солидуса эклогита составляет около 1450°C. Это превышает температуры образования природных эклогитов из кимберлитовых трубок, что может свидетельствовать об их флюидно-магматической природе.

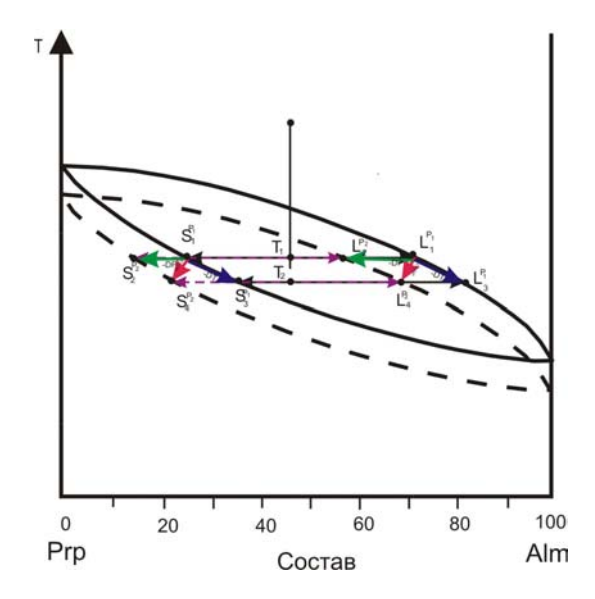


Рис.4. Схема кристаллизации гранатов

Фазовые диаграммы для бинарной системы пироп-альмандин при давлениях 6.5 и 4.0 ГПа [1,2] позволяют рассмотреть различные схемы изменения магнезиальности гранатов, кристаллизующихся из магматического расплава на фоне изменения температуры, давления или обоих интенсивных параметров одновременно (рис. 4). В этом отношение интересны ситуации связанные с уменьшением температуры и давления, связанные с остыванием расплава и его подъемом к поверхности.

- (1) Изобарическое остывание. В этом процессе количество граната относительно расплава постоянно увеличивается, что свидетельствует о росте этого минерала. Таким образом, нормальная кристаллизация пироп-альмандинового расплава на фоне снижения температуры при постоянном давлении приведет к образованию прямой (снижение магнезиальности к краю) ростовой зональности в минерале. Аналогичная зональность кристаллов возникнет при условиях, когда скорость остывания превышает скорость падения давления.
- (2) Согласно схеме на рисунке 4 противоположную эволюцию магнезиальности граната можно ожидать в процессе изотермического снижения давления. Однако в этом случае ростовая зональность не образуется в гранате, поскольку его количество уменьшается по отношению к расплаву. Иначе говоря, ранее выделившиеся кристаллы растворяются в расплаве. Аналогичные процессы растворения граната будут проявляться в результате быстрого сброса давления при медленном остывании. Таким образом, следует вывод, что обратная зональность в отдельных кристаллах граната не может возникнуть при нормальной кристаллизации из расплава.

Однако схема (2) показывает, что в процессе быстрого снижения давления возможна кристаллизация последовательных генераций граната с увеличивающейся магнезиальностью при условии отделения ранее выделившихся кристаллов (фракционная кристаллизация). Если при этом процессе присутствует какая-либо фаза «консервирующая» ранее образованные кристаллы граната, то магнезиальность этих кристаллов будет возрастать от включенных в ядра фазыхозяина до включенных в периферийные зона этой фазы. Необходимо отметить, что подобная эволюция магнезиальности должна проявляться и для омфацитов, если предположить что при давлениях более 4.0 ГПа диопсид и геденбергит образуют непрерывный ряд твердых растворов. Закономерное увеличение магнезиальности включений граната и омфацита, распределенных по зонам роста, действительно описано в алмазах из кимберлитовых трубок Якутии [8]. Совместное увеличение магнезиальности граната и омфацита в этом процессе однозначно свидетельствует об их равновесии с расплавом, поскольку равновесие этих фаз без расплава (в субсолидусе) на фоне снижения Т и Р привело бы к снижению магнезиальности. Подтверждением этому являются расплавные включения в этом же кристалле алмаза [8]. Кроме того, заметный рост магнезиальности граната указывает на то, что скорость декомпрессии, вероятно, превышала скорость остывания, что соответствует росту алмаза в процессе продвижения магматического расплава к поверхности. Таким образом, увеличение магнезиальности гранатов на фоне снижения Т и Р возможно лишь в условиях их равновесия с расплавом. Иначе говоря, анализ тенденций изменения магнезиальности гранатов различных генераций на основе диаграмм плавкости системы пироп-альмандин совместно с независимыми данными, показывающими тенденции в изменении Т и Р (например, вариации концентраций Na<sub>2</sub>O и TiO<sub>2</sub> в гранатах, Na<sub>2</sub>O и K<sub>2</sub>O пироксенах) позволяют в ряде случаев выделять магматическую стадию эволюции эклогитовых парагенезисов. Это особо важно для включений в алмазах, среди которых не всегда присутствуют включения расплавов.

Поддержка РФФИ: гранты 04-05-64896, 04-05-97220, 05-02-17283, 05-05-64101, грант ведущей научной школы 2849.2006.5 (А.А. Маракушев) и программы РАН №П9-3

## Литература

- 1. *Бутвина В.Г., Бобов А.В., Литвин Ю.А.* Экспериментальное изучение системы пиропгроссуляр–альмандин при 6,5 ГПа и 1500-1900 С. // ДАН. 2001. Т. 379. № 5. СС. 655-658.
- 2. *Бутвина В.Г., Литвин Ю.А., Маракушев А.А.* Равновесие омфацит-гранат в системе  $Na_2O-CaO-FeO-MgO-Al_2O_3-Fe_2O_3-TiO_2-SiO_2$ , моделирующей ильменит-рутиловые магнезиальножелезистые эклогиты // XV PCЭМ. Сыктывкар. 2005. Тез. докл. СС. 32-34.

- 3. Beard B.L., Fraracci K.N., Taylor L.A., Snyder G.A., Clayton R.A., Mayeda T.K., Sobolev N.V. Petrography and geochemistry of eclogites from the Mir kimberlite, Yakutia, Russia // Contrib. Mineral. Petrol. 1996. V.125. PP. 293-310.
- 4. *Маракушев А.А.* Минеральные ассоциации алмаза и проблема образования алмазоносных магм // Очерки физ.-хим. петрологии. Москва. 1985. Вып.13. СС. 5-53.
- 5. Шацкий В.С., Соболев Н.В., Гильберт А.Э. Эклогиты Кокчетавского массива // Эклогиты и глаукофановые сланцы в складчатых областях. 1989. СС.54-82.
- 6. *Katayama I., Parkinson C.D., Okamoto K., Nakajima Y., Maruyama S.* Supersilicic clinopyroxene and silica exsolution in UHPM eclogite and peliticgneiss from the Kokchetav Massif, Kazakhstan // Amer. Mineral. 2000. V. 85. PP. 1368-1374.
- 7. *Литвин Ю.А.* Физико–химические исследования плавления глубинного вещества Земли // М.: Наука. 1991. 312c.
- 8. Буланова Г.П., Барашков Ю.П., Тальникова С.Б., Смелова Г.Б. Природный алмаз-генетические аспекты // Новосибирск: Наука. 1993. 168с.
- 9. Маракушев А.А., Бобров А.В. Специфика кристаллизации эклогитовых магм в алмазоносной фации глубинности // ДАН. 1998. Т. 358. №4. СС. 526-530.
- 10. Essene E.J., Hensen B.J., Green D.H. Experimental study of amphibolite and eclogite stability // Phys. Earth. Planet. Inter. 1970. N3.
- 11. *Gupta A., Yagi K.* Experimental study on two picrites with reference to the genesis of kimberlite // 2<sup>nd</sup> Intern. Kimberlite Conf. Extended Abstr. 1977. PP. 339-343.
- 12. *Маракушев А.А.* Термодинамика систем геохимических минеральных фаций // Геохимия. 2000. № 12. СС. 1251-1265.

Вестник Отделения наук о Земле РАН - №1(24) 2006

Информационный бюллетень Ежегодного семинара по экспериментальной минералогии, петрологии и геохимии 2004 года (ЕСЭМПГ-2006)

URL: http://www.scgis.ru/russian/cp1251/h\_dgggms/1-2006/informbul-1\_2006/term-3.pdf Опубликовано 1 июля 2006 г

© Вестник Отделения наук о Земле РАН, 1997 (год основания), 2006 При полном или частичном использовании материалов публикаций журнала, ссылка на «Вестник Отделения наук о Земле РАН» обязательна